落橋防止構造の垂直落下式衝撃実験装置

横河ブリッジホールディングス 正会員 ○ 結城 洋一 正会員 池末 和隆 正会員 尾下 里治 正会員 春日井 俊博

1. はじめに

落橋防止構造のような引張方向に衝撃力を受ける構造物に対する耐衝撃性を確認する統一された実験方法は見受けられない¹⁾. そこで著者らは落橋防止構造の耐衝撃性を確認する垂直落下式の衝撃実験装置を考案した. 本論では、著者らが考案したピン定着型のシャックルPCケーブルを有する落橋防止構造(以下、新型落防という)に対し、考案した衝撃実験装置によって耐衝撃性の確認実験を試みた結果について報告する.

2. 衝撃実験装置と計測概要

考案した衝撃実験装置の概要を図-1 に、設置状況を写真-1 に示 す. 高さ約7.5mの反力壁に支持梁を固定し,支持梁から各種ジグ, シャックル, 引張型ロードセル, 供試体, PC 鋼棒, 錘(400kg)等 の部品を鉛直方向に一直線上に吊るす. 実験時はチェーンブロック のフックに取り付けた電磁石で錘を所定の高さまで吊り上げた後, 自由落下させエンドプレートに衝突させる. したがって, 供試体に は各種部品を伝達した衝撃力が加わる. 本実験装置は、上述したよ うな吊形式であるため、引張方向に対して PC ケーブルにたるみを 生じさせず衝撃力を載荷することが特徴である. 衝撃力の計測では 引張型ロードセル (容量 500kN, 固有振動数 2.7kHz) を用い, デー タの収録には応答周波数 $DC\sim1kHz$ の動ひずみ計測器を用い、サン PC 鋼棒 プリング周波数は 5kHz とした. 実験状況 (錘の落下高さ調整時) を写真-2 に示す. 供試体に与える最大衝撃力は, 使用した PC ケー 電磁石 ブル(長さ約2m)の降伏荷重である222kN相当とした.この最大 エンド 衝撃力を与えるにあたり,実験装置から供試体を取り外した状態で 予備実験(落橋防止装置なし)を事前に実施し、錘の落下高さと供 試体に入力される最大衝撃力の関係を求めた.

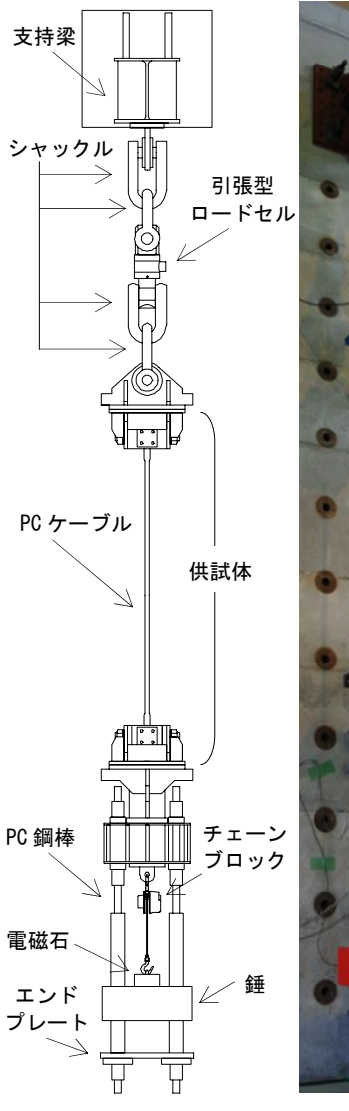


図-1 衝撃実験装置の概要

写真-1 衝撃実験装置の 設置状況

共試化

3. 供試体

従来の支圧定着型(以下,従来型落防という)の供試体の定着ブラケットを図-2,写真-3に示す.従来型落防はPCケーブルの軸方向にのみ耐衝撃性を期待している.また,緩衝材としてクロロプレンゴム(硬度 55 度)を使用した.新型落防の供試体の定着ブラケットを図-3,写真-4に示す.新型落防ではPCケーブルの定着部をピン定着型としている.水平回転軸,鉛直回転軸を有する構造により落橋防止装置の取り付け角度が複雑となる場合でも定着ブラケットの形状を取り付け角度にあわせることなく設置可能となる.また,緩衝材として円筒形のクロロプレンゴム(硬度 45 度)を使用し,写真-5に示すように鉛直回転軸に取付けた.



写真-2 実験状況

キーワード 衝撃実験, 衝撃実験装置, 落橋防止ケーブル, ピン定着, 緩衝ゴム 連絡先 〒273-0026 千葉県船橋市山野町 27 (株)横河ブリッジホールディングス TEL047-435-6161

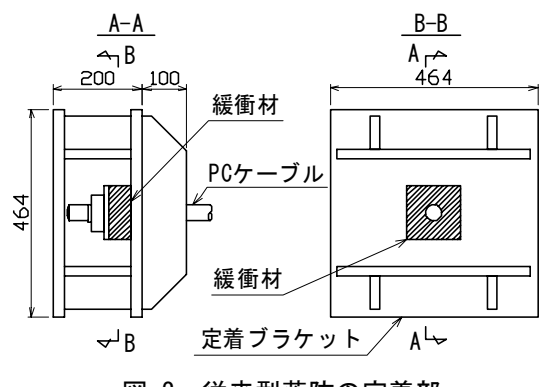


図-2 従来型落防の定着部

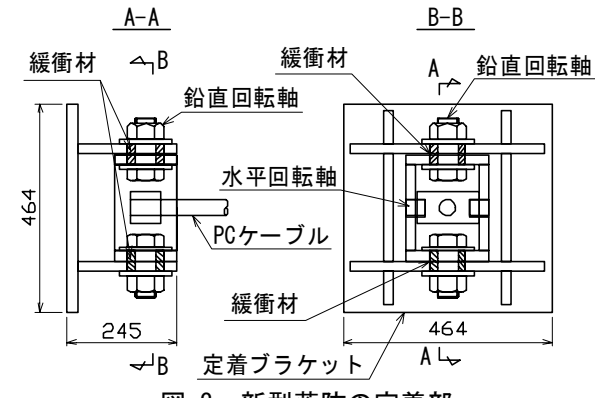


図-3 新型落防の定着部



写真-3 従来型落防の定着部



写真-4 新型落防の定着部



写真-5 新型落防の緩衝材

4. 実験結果

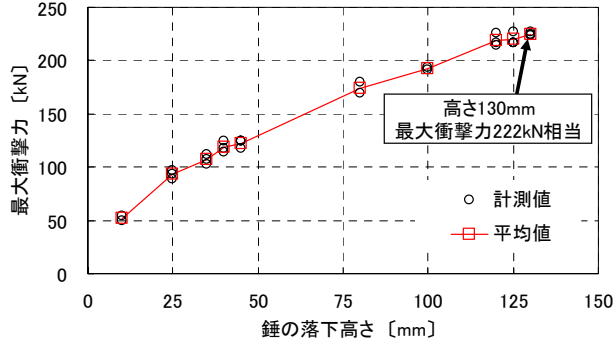
予備実験結果を図-4 に示す. 錘の落下高さを 130mm (位置エネルギー換算で約 510J) とすることで,最大衝撃力 222kN 相当,力積 1.28kN·m の衝撃力が載荷されることを確認した. この衝撃力を従来型落防と新型落防に与えた場合の衝撃力の代表波形を図-5 に示す. また,表-1 に計測した最大衝撃力を,表-2 に衝撃波形から算出した力積・応答時間を示す. 衝撃波形から算出した応答時間は,予備実験結果 (0.013 秒) と比較し従来型落防で約 6.8 倍,新型落防で約 6.2 倍となった. 衝撃実験の平均値から最大衝撃力 222kN 相当の入力値に対し,従来型落防で約 87%,新型落防で約 83%とほぼ同等の衝撃力の低減率を有することがわかった. さらに,各々3 回の衝撃実験において最大衝撃力のばらつきは平均値に対し 3%以下,力積のばらつきは予備実験結果(力積 1.28kN·m)に対し 6%以下となっていることから安定した実験が行われたと考える.

5. まとめ

本論では、落橋防止構造を対象とした考案した衝撃実験 装置を用い、従来型落防、新型落防に対し衝撃実験を試み た. 結果、衝撃力の測定値および衝撃波形より算出した力 積値のばらつきが小さいことから本実験装置により安定 した衝撃実験が行えることが分かった. また、新型落防が 従来型落防とほぼ同等の衝撃力の低減率を有していること が分かった.

参考文献

1) 土木学会, 衝撃実験・解析の基礎と応用, 構造工学シリーズ 15, 2004.3



予備実験結果 図-4 240 210 予備実験 £ 180 150 従来型落防 120 新型落防 90 60 30 Ř 0 -30 0.00 0.15 0.05 0.10 時間[s] 図-5 代表波形

計測した最大衝撃力 表-1 計測した最大衝撃力(kN) 最大衝擊力 供試体 222kNに対する 平均 支圧定着型落防 29.0 30.0 30.7 29.9 87% ピン定着型落防 37.2 37.7 39.0 38.0 83%

表-2 衝撃波形から算出した力積・応答時間 式験回数 供試体 1回目 2回目 3回目 支圧定着型落防 応答時間(s) 0.090 0.088 0.087 0.088 (従来型落防) 力積(kN·s) 1.270 1.280 1.270 1.273 答時間(s) 0.084 0.080 0.080 0.081 (新型落防) 力積(kN·s) | 1.203 | 1.200 | 1.205 | 1.203